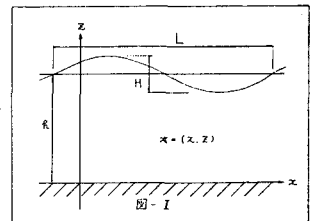


五洋建設(株) 正会員 近藤 浩右
 東京大学工学部 同上 堀川 清司

1. まえがき 進行波として有限振幅波を用い、層流境界層を仮定して、境界層外縁における質量輸送速度を4次オーダーまで計算し、合わせて実験を行なった。その結果、浅海域における底面質量輸送速度のLonguet-Higginsによる理論値からのずれは、従来Collinsらによ、てきわめられたような乱れの影響ではなく、先の理論では無視された高次項の影響で説明し得ることを示した。

2. 基本的な考え方 波は二次元で一樣水深上を進行する進行波であり、水は非圧縮性で、かつ底面は十分滑らかなものとする。境界層の外側での運動は既知のものとし、波による質量輸送速度は、ポテンシャル解によるLagrange的なものと、粘性の影響によるEuler的なものとの和として表わされると考える。

i) ポテンシャル解による質量輸送速度 座標を図-1のようにとる。さて、時間 $t=0$ において $x=x_0$ にあ、た水粒子の $t=t$ 、 $x=x$ における速度を $U_e(x_0, t)$ と表わすと、 U_e とEuler的な流速 $U(x, t)$ との関係は、テイラー展開を用いて次式のように表わされる。



$$U_e(x_0, t) = U(x, t) + \left[\int_0^t U(x_0, t') dt' \cdot \nabla_n \right] U(x_0, t) + \frac{1}{2} \left[\int_0^t U(x_0, t') dt' \cdot \nabla_n \right]^2 U(x_0, t) + \frac{1}{6} \left[\int_0^t U(x_0, t') dt' \cdot \nabla_n \right]^3 U(x_0, t) + \dots \quad (1)$$

但し $\nabla_n = (\partial/\partial x, \partial/\partial z)$.

一方、有限振幅波による流速 U は次式で表わされる。

$$U = \nabla_n \left(\frac{H_1}{k} \cosh kRz \sin \theta \right) + \nabla_n \left(\frac{H_2}{2k} \cosh 2kRz \sin 2\theta \right) + \dots \quad (2)$$

ここに $H_1 = aRkC/\sinh kRl$, $H_2 = 3(aR)^2C/4 \sinh^2 kRl$, $\theta = kx - \omega t$, また、 k :波数、 ω :波の角周波数、 C :波速を表わし、 a は波高 H との間に、

$$H/2 = a \left[1 + \frac{1}{4}(aR)^2 f_3 \right], \quad f_3 = \frac{3}{16} (8 \cosh^2 kRl + 1) / \sinh^4 kRl \quad (3)$$

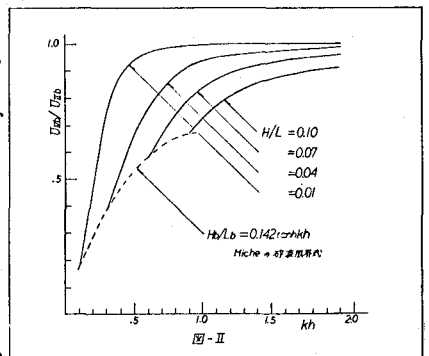
なる関係で結びつけられている。波形勾配に対応する微小量 (aR) をパラメータとして、流速などの諸量 U をべき級数に展開できるものとし、振動法を用いて、 U_e の時間平均 \bar{U}_e に関する4次オーダーまでの解として次式を得る。

$$\bar{U}_e = \frac{H_1^2}{2C} \cosh 2kRz + \frac{H_2^2}{2C} \cosh 4kRz + \frac{H_1^2 H_2}{C^2} (\cosh 4kRz - \frac{1}{2} \cosh 2kRz) - \frac{H_1^4}{8C^3} \quad (4)$$

ii) 粘性の影響による質量輸送速度 二次元境界層方程式において、先と同様振動法を用いて境界層内の流速の高次オーダーの解を計算することができる。但し通常用いられる境界層近似 $Sr \ll 1$ が成り立つものとする。

Sr は $(\nu/\omega)^{1/2}$ のオーダーの境界層厚に対応する量である。この条件は、厳密には振動法における展開パラメータ (aR) との間に $Sr \ll (aR)^2$ なる条件を満たすことを必要とする。境界条件として底面で流速 $U=0$ 、また境界層外縁で水平流速の時間依存項は有限振幅波の底面水平流速に一致する。計算の詳細は省略し、境界層外縁での水平流速の時間平均値(Euler的な質量輸送速度)の4次オーダーまでの解を示せば、

$$\bar{U}_e = \frac{3H_1^2}{4C} + \frac{3H_2^2}{4C} - 1.075 \frac{H_1^2 H_2}{2C^2} - 5.054 \frac{H_1^4}{4C^3} \quad (5)$$



となる。従、て境界層外縁での4次オーダーまでの質量輸送速度 \bar{U}_{mb}

は④式で $Z=0$ とおいたものと、⑤式の和として表わされ。

$$U_{nb} = \frac{5}{4} \frac{(aR)^2 C}{\sinh^2 kh} \left[1 + \left(\frac{H}{L} \right)^2 (1 - 0.041 \sinh^2 kh - 1.975 \sinh^4 kh) \right] \quad (6)$$

を得る。Longuet-Higginsによって求められた2次オーダーまでの解 $U_{nb} = \frac{5}{4} \frac{(H/L)C}{\sinh^2 kh}$ との比をとり、種々の H/L について長尺をパラメータとして表わしたものが図-IIである。深海領域長尺 $\lambda > 1$ においては4次の影響はほとんど見られないが、長尺 < 1 において、著しく2次の解より減少することが解る。

3. 底面質量輸送速度の測定 実験水槽は、長さ25m、深さ1.5m、幅80cmの両面ガラス張りの二次元造波水槽を仕切り板で幅20cmに仕切ったものであり、水路終端は錆び止め塗装をほどこされた鉄板製の1/20の一般勾配斜面となっている。質量輸送速度は、染料(Water Blue)の小さな粒を落とし、溶出した染料が底面付近に形成する鮮やかな細い筋の先端が、一定距離を進むに要する波の数を測定することにより求めた。沖波2高3.0~7.6cm、周期0.63~2.1secの波に対し、9~34cmの種々の水深での測定を行った。なお、反射率は全てのケースで一割以下であった。測定結果を整理する前に、4次オーダーの解の各項の比率を見るために、再び4次と2次の解の比をとり、③式を用いて次の様に書き換えてみる。

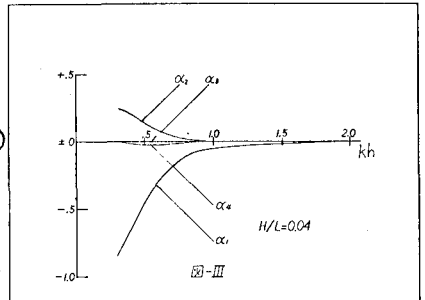
$$U_{nb}/U_{nb} = 1 + \alpha_1 + \alpha_2 + \alpha_3 + \alpha_4$$

$$\text{但し } \alpha_1 = -1 + \left[1 + \frac{1}{4} (aR)^2 f_3 \right]^2$$

$$\alpha_2 = \left[1 + \frac{1}{4} (aR)^2 f_3 \right]^2 \left(\frac{3aR}{4 \sinh kh} \right)^2$$

$$\alpha_3 = \left[\quad \quad \quad \right]^2 \left(\quad \quad \quad \right)^2 (-0.041 \sinh^2 kh)$$

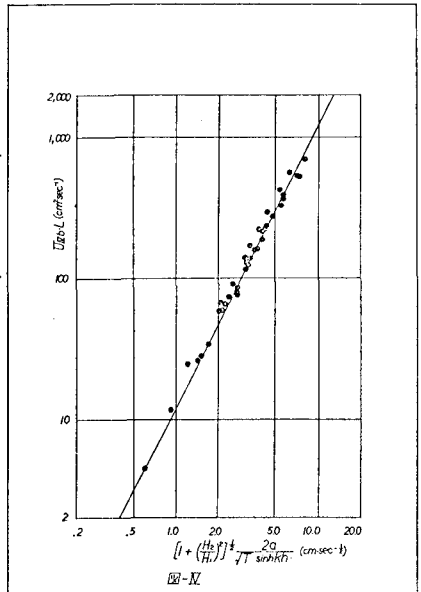
$$\alpha_4 = \left[\quad \quad \quad \right]^2 \left(\quad \quad \quad \right)^2 (-1.975 \sinh^4 kh)$$



α_1 は有限振幅の影響、 α_2 は有限振幅波が2調和成分だけによる4次の効果、 α_3 は第1、第2調和成分による効果、 α_4 は第1調和成分だけによる効果を示す。一例として $H/L = 0.04$ の場合に、長尺に対する各 α_i の変化を図-IIIに示す。一般に高次項の影響は浅海域 ($kh < 1$) において顕著になるが、一方 α_3, α_4 の値は α_1, α_2 に比して急激に減少する。従って実用上は、高次項の影響は α_1, α_2 のみによって代表し得ると考えられ、この場合、式⑥は比較的簡単な式。

$$U_{nb} \cdot L = \frac{5\pi^2}{4} \left[\left(1 + H/L \right)^{1/2} \frac{2a}{\sqrt{g} \sinh kh} \right]^2 \quad (8)$$

と、Collinsの表式に対応した形に書くことができる。この式をもとに、右辺の大カッコ内の値を横軸に、左辺の値を縦軸にとり、両対数紙上に実験結果をプロットしたものが図-IVである。



4. 結論および考察 今回の実験ケースのうちいくつかのものは、底面水粒子最大速度 U_{bmax} と境界層厚 δ を用いて定義される境界層に関する Reynolds 数 $U_{bmax} \delta / \nu$ が Collins の定めた進行波での臨界 Reynolds 数 160 以上 (最大 ≈ 10) であり、この場合にも、層流境界層を仮定した場合の高次項を考慮すれば、底面質量輸送速度の測定値は理論解と良い一致を見せる。さらに、これらのケースを測定した際、染料の筋が底面付近で乱れることなく細い線を保っていたことは、境界層内が層流状態にあったことを物語るものであろう。もちろんより高 Reynolds 数で乱流境界層へと遷移することは予想されるが、今回は測定上の難しさもあり、進行波のもとでの臨界 Reynolds 数を新たに定め直す所までは、十分実験を行なうことはできなかった。

参考文献 Longuet-Higgins, H.S., 1953, Phil. Mag. Roy. Soc., London, vol. 245, p. 535-581. Collins, J.I., 1963, J.G.R., vol. 68, p. 6007-6014. Sleath, J.F.A., 1972, J.M.R., vol. 30, p. 295-304